

ОБЪЕДИНЕННЫЙ
ИНСТИТУТ
ЯДЕРНЫХ
ИССЛЕДОВАНИЙ
ДУБНА

3784

P7-87-621

Х.Зодан, С.М.Лукьянов, Ю.Э.Пенионжкевич,
В.С.Саламатин, Г.Г.Чубарян¹, К.Хайдель, А.Поп²,
К.Д.Шиллинг³, Э.Вилл³, П.Гиппнер³, К.Борча

ПРОЯВЛЕНИЕ ОБОЛОЧЕЧНОЙ СТРУКТУРЫ
В ХАРАКТЕРИСТИКАХ ПРОДУКТОВ
РЕАКЦИИ Zn+Sn

Направлено в журнал "Ядерная физика"

¹Ереванский физический институт

²Институт ядерной техники и технологии, Бухарест, СРР

³ЦИЯИ АН ГДР, Россендорф

1987

Таблица

Оболочечная структура атомных ядер проявляется во многих ядерных процессах. В спонтанном и низкоэнергетическом делении повышенный выход осколков с массой 130-140 а.е.м. связан с образованием магических ядер Sn . Влиянием оболочечных эффектов объясняют высокие значения полных кинетических энергий деления изотопов Md и Fm /1/. Большой интерес представляет поиск проявлений оболочечной структуры в реакциях с тяжелыми ионами. Реакции с тяжелыми ионами могут приводить к полному слиянию налетающего иона с ядром мишени с образованием составного ядра. При этом энергия возбуждения E^* компаунд-ядра составляет величину от нескольких десятков до сотен МэВ. В тех случаях, когда энергия $E^* < 50$ МэВ, возможно проявление оболочечных эффектов в массовых и энергетических распределениях продуктов распада составного ядра /2/. По мере утяжеления омоардирующих ионов сечение полного слияния падает, так, для реакций с ионами $\text{Ar} > 20$ на урановой мишени его вклад в полное сечение уже невелик /3/, а для еще более тяжелых снарядов, с $\text{Ar} > 40$, доминирующими являются другие неупругие процессы. Однако в характеристиках продуктов реакций, не приводящих к полному слиянию, также могут проявляться оболочечные эффекты. В работах /4,5/ наблюдалось влияние оболочечной структуры в массовых распределениях продуктов реакции, образующихся в процессе эволюции двойной ядерной системы к симметричной фрагментации без образования составного ядра. Таким процессом может быть реакция быстрого деления, характеризующаяся релаксацией почти всех степеней свободы.

Проявление оболочечных эффектов в характеристиках продуктов глубоконеупругих передач (ГНП) наблюдалось в работе /6/, где отмечались максимумы сечений для легких продуктов с замкнутыми оболочками и подоболочками, образующихся при значительной перестройке взаимодействующих ядер. Для ГНП характерным является диссипация кинетической энергии и углового момента с образованием в основном продуктом о мицонами вблизи масс взаимодействующих ядер. Используя магические и оклономагнические ядра во входном канале, можно попытаться определить эффекты, усиливающие на влияние оболочечной структуры отталкиванием ядер на процесс эволюции составной ядерной системы. Именно в глубоконеупругих взаимодействиях, когда ядерная система ощущает "побуждение" входной кинетики, можно найти наиболее яркие эффекты пролыжения от структур входных ядер /7/. Настоящая работа предпринята с целью исследования влияния структуры ядер во входном канале на процесс взаимодействия тяжелых ионов. Измерены массовые, энергетические и угловые распределения продуктов реакции ^{64}Zn на мишеньях из олова, лантана, сорбера. Результаты входного канала исследуемых реакций представлены в таблице.

Реакция	$\eta = \frac{(M_{\text{T}} - M_{\text{D}})}{(M_{\text{T}} + M_{\text{D}})}$	E_{lab} (МэВ)	E/B_c	ℓ_{max}
$^{64}\text{Zn} + ^{\text{nat}}\text{Ag}$	0,26	300	I,18	94
		335	I,31	124
$^{64}\text{Zn} + ^{114}\text{Sn}$	0,28	314	I,19	99
		330	I,24	114
		390	I,47	157
$^{64}\text{Zn} + ^{116}\text{Sn}$	0,29	314	I,19	102
$^{64}\text{Zn} + ^{122}\text{Sn}$	0,31	314	I,22	110
$^{64}\text{Zn} + ^{139}\text{La}$	0,37	345	I,26	131
		365	I,34	152

Результаты измерений

Измерения проводились на двухплечевом времяпролетном спектрометре ДЭМАС /8/. Спектрометр позволяет регистрировать коррелированные продукты реакции двумя времяпролетными плечами. Геометрия расположения "плеч" и угловой аксептанс ($\sim 18^\circ$) установки позволяют регистрировать продукты бинарных реакций со значениями полной кинетической энергии и масс (ТКЕ и М3, М4) в области, ограниченной пунктирными линиями на рисунке I. Из экспериментально измеренных значений времен пролета, углов вылета частиц проводился отбор событий двухтельного процесса по сумме углов разлета частиц в системе центра масс $\bar{\theta}_3 + \bar{\theta}_4$ без всякого предположения о механизме реакции. Для событий, удовлетворяющих условию $\bar{\theta}_3 + \bar{\theta}_4 = 180^\circ \pm 3^\circ$, вычислялись значения масс и энергий продуктов, соответствующие значениям до испарения нуклонов и продуктов реакции.

На рис.2 представлены результаты измерений зависимости выхода продуктов реакции $^{64}\text{Zn} + ^{114}\text{Sn}$ от массы и полной кинетической энергии при трех значениях энергий налетающих ионов. Для максимальной широты пучка (соответствующей отношению энергии в с.ц.м. к кулоновскому барьери $E/B_0 = 1,47$) в представленной на рис.2 зависимости наблюдалось для группы событий: одна - соответствующая упругим и квазиупругим реагициям (A), а другая (область C) - продуктам симметричной фрагментации. Первая группа событий характеризуется широким интервалом значений по ТКЕ при средних значениях масс

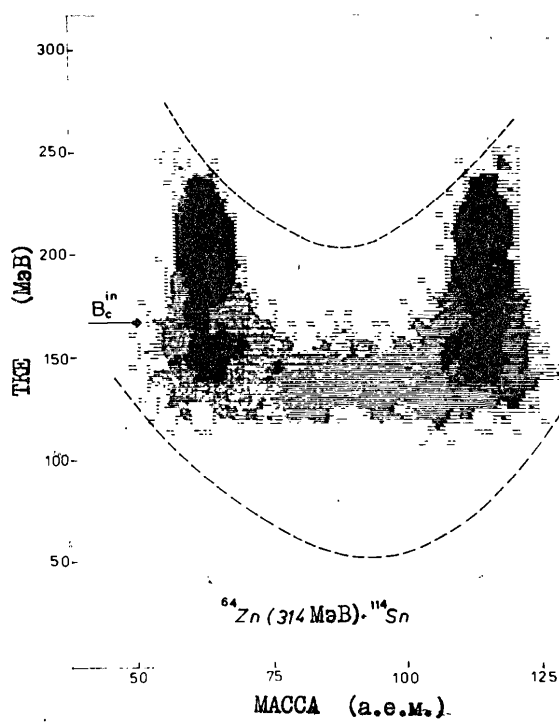


Рис. 1. Измеренная зависимость выхода продуктов реакции $^{64}\text{Zn} + ^{114}\text{Sn}$ в зависимости от массы M продуктов и ТКЕ. Геометрия расположения детекторов позволяла регистрировать бинарные продукты со значениями масс и ТКЕ во внутренней области, ограниченной пунктирными линиями

продуктов, приблизительно равным значениям масс взаимодействующих ядер M_p и M_t . Область (С) характеризуется более узким распределением по ТКЕ, но широким набором масс продуктов от M_p и M_t . Среднее значение ТКЕ для центра этой группы соответствует значению, которое ожидается согласно систематике по средним полным кинетическим энергиям для осколков симметричного деления [9]. С уменьшением энергии бомбардирующих ионов выход продуктов симметричной фрагментации (область С) уменьшается, а в распределении по ТКЕ в группе (А) появляется дополнительный максимум (область В). Наконец, при энергиях вблизи кулоновского

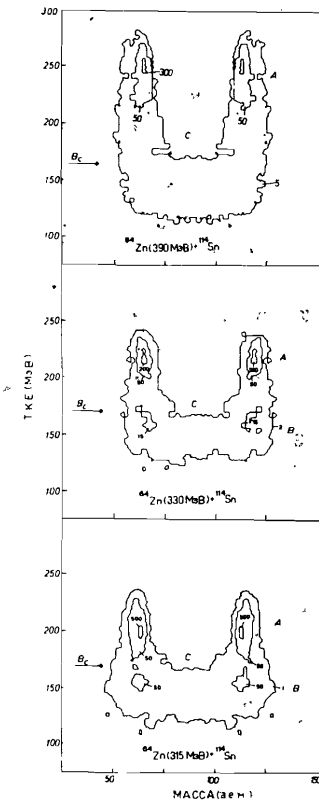


Рис. 2.
Зависимости выходов продуктов реакции $^{64}\text{Zn} + ^{114}\text{Sn}$ от массы и ТКЕ при различных энергиях налетающих ионов.

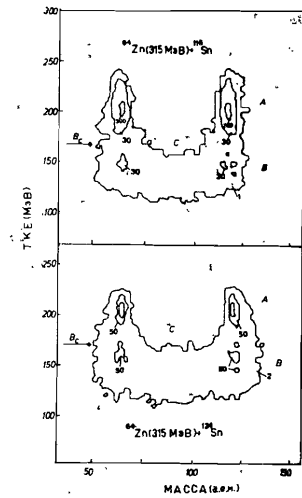


Рис. 3.
Зависимости выходов продуктов от массы и ТКЕ в реакциях с ионами ^{64}Zn (315 МэВ) на мишнях из различных изотопов Sn.

барьера ($E/B_c \sim 1,2$) распределение по ТКЕ для снарядо- и мишенеподобных продуктов имеет четко выраженные два максимума. Средняя величина ТКЕ для событий группы (A) соответствует энергии бомбардирующих ионов в системе центра масс, а для области (B) значениям ТКЕ несколько меньше входного барьера B_c .

Зависимости выхода продуктов от массы и ТКЕ были измерены в реакциях с другими разделенными изотопами олова: ^{116}Sn и ^{122}Sn при энергии ионов $^{64}\text{Zn} \sim 315$ МэВ. Результаты этих измерений представлены на рис.3, из которого следует, что изменение числа нейтронов ядер мишени не приводит к существенному изменению формы спектров и сохраняется двугорбое распределение по ТКЕ для снарядо- и мишенеподобных продуктов. Положение максимума второго пика (B) по ТКЕ соответствует образованию мишенеподобных фрагментов в глубоконеупругом канале реакции и смешается в сторону больших масс с увеличением массового числа ядра мишени.

Для определения влияния оболочечных эффектов на характеристики продуктов реакций в выходном канале была проведена серия экспериментов, где в качестве мишеней были выбраны ядра ^{139}La и ^{nat}Ag . Результаты измерений выходов продуктов в зависимости от М и ТКЕ для двух значений энергии ^{64}Zn представлены на рис.4,5 для реакций

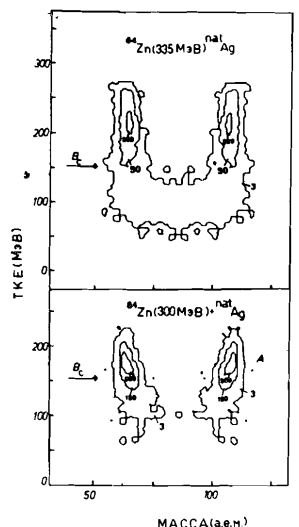


Рис. 4. Зависимости выходов продуктов от массы и ТКЕ для реакции $^{64}\text{Zn} + ^{nat}\text{Ag}$.

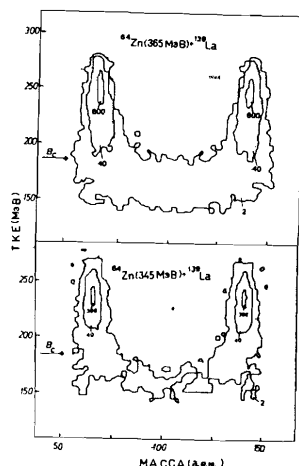


Рис. 5. Зависимости выходов продуктов от массы и ТКЕ для реакции $^{64}\text{Zn} + ^{139}\text{La}$.

$+ ^{nat}\text{Ag}$ и $^{64}\text{Zn} + ^{139}\text{La}$, соответственно. Из сравнения этих спектров со спектрами на оловянных мишнях видно, что в распределении по ТКЕ для мишене- и снарядоподобных продуктов не наблюдается дополнительного максимума при ТКЕ $\leq B_c$, в отличие от реакций на изотопах олова. Для большей наглядности на рис.6 представлены распределения полной кинетической энергии для мишене- и снарядоподобных продуктов для реакций $^{64}\text{Zn} + ^{114}\text{Sn}$ и $^{64}\text{Zn} + ^{139}\text{La}$. Из этого рисунка следует, что для второй реакции, как и в случае с мишенью из Ag , распределение монотонно.

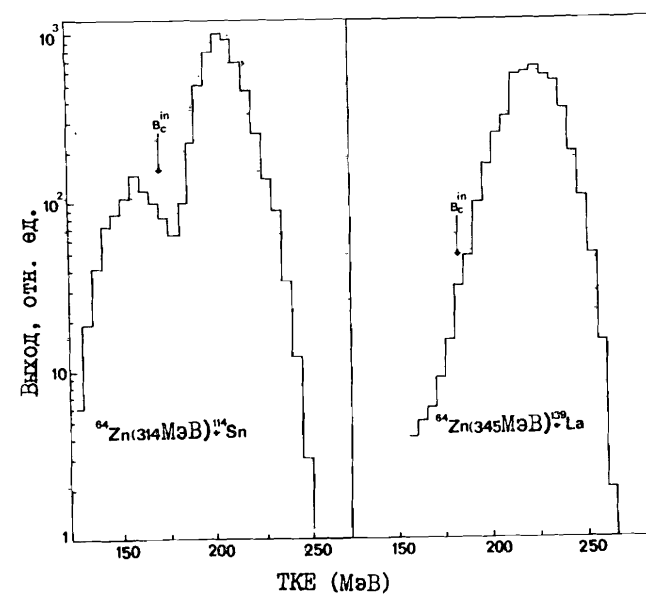


Рис. 6. Спектры полных кинетических энергий для мишенеподобных продуктов в реакциях $^{64}\text{Zn} + ^{114}\text{Sn}$, ^{139}La при одинаковых энергиях пучка над кулоновским барьером.

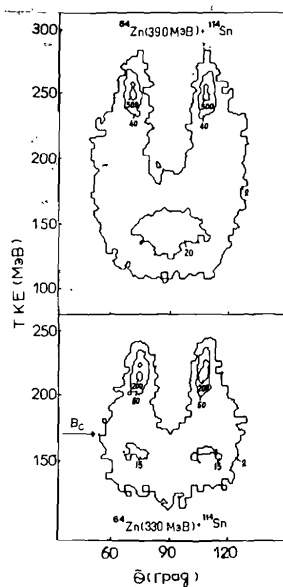


Рис. 7. Зависимости выхода продуктов реакции $^{64}\text{Zn} + ^{114}\text{Sn}$ от угла рассеяния в с.п.м. и ТКЕ.

Дополнительную информацию о механизме ядерных реакций можно получить из корреляционных функций между углом вылета продуктов в системе центра масс и полной кинетической энергии ТКЕ. На рисунке 7 представлены также диаграммы для реакции $^{64}\text{Zn} + ^{114}\text{Sn}$ при различных энергиях налетающих ионов. Для продуктов глубоконеупругих процессов при энергиях вблизи барьера ($E/B_c \sim 1,2$) наблюдается сильная "фокусировка": эти продукты вылетают в системе центра масс под углами, близкими к углам упругого рассеяния, вне зависимости от величины потерь кинетической энергии (ТКЕ). Этот факт указывает на малое время взаимодействия при образовании снарядо- и мишнеподобных продуктов со значениями ТКЕ $\leq B_c$. За это короткое время может осуществляться эквилибрация по N/Z и диссипация кинетической энергии и практически отсутствует вращение фрагментов друг относительно друга и значительный обмен нуклонами.

Обсуждение экспериментальных результатов

В исследованных реакциях на мишнях из разделенных изотопов олова при энергиях вблизи кулоновского барьера в зависимостях выхода продуктов от их массы и полной кинетической энергии обнаружены отчетливые максимумы для снарядо- и мишнеподобных продуктов при значениях ТКЕ $\leq B_c$, т.е. при значительных потерях кинетической энергии, характерных для ГНП.^{10/} Выход продуктов с указанными значениями масс и ТКЕ зависит от энергии налетающих ионов. Так, при энергиях пучка вблизи барьера ($E/B_c < 1,3$) указанные максимумы превосходят выход продуктов симметричной фрагментации. С дальнейшим повышением энергии налетающих ионов ($E/B_c \sim 1,47$) в спектрах полной кинетической энергии для снарядо- и мишнеподобных продуктов наблюдается монотонная зависи-

мость. Результаты измерений таких же зависимостей для реакций с немагнитическими по Z ядрами мишней показали отсутствие дополнительных максимумов в области ТКЕ $\leq B_c$.

Такое изменение формы спектров может быть связано с сохранением структуры взаимодействующих ядер, а именно оболочки $Z=50$ ядер олова, в выходном канале реакции. Поскольку в процессах глубоконеупругих передач успевает осуществиться N/Z -равновесие и диссипация кинетической энергии и отсутствует релаксация вдоль масс-асимметричной коллективной переменной, то в этих процессах не происходит значительной перестройки взаимодействующих ядер. Продукты реакции еще "помнят" о свойствах входного канала и сохраняют в себе устойчивую оболочечную структуру ($Z=50$), если она заложена во входном канале. Это проявляется в виде дополнительных максимумов в распределении по ТКЕ в реакциях с оловянными мишнями.

Как уже отмечалось^{13/}, оболочечные эффекты наблюдаются, если энергия возбуждения не превышает 50 МэВ. Из полученных данных можно оценить энергию возбуждения образующихся фрагментов. В реакции $^{64}\text{Zn} + ^{114}\text{Sn}$ с $E/B_c \sim 1,2$ максимальные потери кинетической энергии составляют 50 МэВ. Для больших энергий налетающих ионов ($E/B_c \sim 1,45$) потери увеличиваются в два раза и распределение по ТКЕ для снарядо- и мишнеподобных продуктов становится монотонным. В исследуемой реакции при энергии $E/B_c \sim 1,2$ энергия возбуждения, например, для продуктов с массой $M \sim 110$, составляет 40 МэВ и в два раза больше для $E/B_c \sim 1,45$. Вероятно, при энергии налетающих ионов вблизи барьера не происходит разрушения оболочек. Поэтому в характеристиках продуктов глубоконеупругих передач могут проявляться свойства взаимодействующих ядер, в частности оболочки $Z=50$.

Интерес представляет более детальное исследование реакции $^{64}\text{Zn} + ^{139}\text{Cs}$ на предмет изучения проявления оболочки $N=82$ ядра мишени в характеристиках продуктов реакции.

Ранее в работе^{15/} по изучению массовых и энергетических распределений продуктов реакций, приводящих к образованию составной системы с $Z=108$, наблюдался повышенный выход продуктов с массами вблизи 210 а.е.м. Эти результаты интерпретировались как проявление оболочечных эффектов ($Z=82, N=126$) в процессе эволюции ядерной системы, не приводящей к образованию составного ядра (реакция быстрого деления). В случаях быстрого деления время протекания реакции больше характерных времен глубоконеупругих процессов, и за это время помимо N/Z -равновесия также устанавливается равновесие относительно масс-асимметричной коллективной переменной. Поэтому наблюдение повышенного выхода продуктов с магическими значениями масс, по-видимому,

можно интерпретировать, в отличие от глубоконеупругого процесса, как следствие установления равновесия относительно масс-асимметричной коллективной переменной.

В заключение авторы выражают благодарность профессору Ю.Ц.Оганесяну за постоянное внимание к данной работе, Ю.А.Музичке и Б.И.Пустыльнику за критические замечания и плодотворные дискуссии, коллективу ускорителя У-300 за обеспечение работы на выводном пучке ионов цинка, З.Д.Покровской за помощь в оформлении рукописи.

Л и т е р а т у р а

1. E.K.Hulet, J.F.Wild, Phys.Rev.Lett., v.56, p.313, 1986.
2. R.Kalpakchieva et al. Phys.Lett., v.69B, p.287, 1977.
3. Yu.Ts.Oganessian, Yu.A.Lazarev. Treatise on HI-Science, v.4, Plenum Press, New York, 1985.
4. R.Kalpakchieva et al. Nucleonica, v.24, No 4/79, p.417, 1979.
5. P.Gippner et al. Z.Phys., A325, p.335, 1986.
6. В.В.Волков и др. Изв. АН СССР, сер.физ., 1978, т.42, с.2234.
7. В.В.Волков. Ядерные реакции глубоконеупругих передач. Москва, ЭнергоИздат, 1982, стр.79.
8. Э.Вилл и др. Сообщение ОИИ № I3-85-754, Дубна, 1985.
9. V.E.Viola et al. Phys.Rev.C, v.31, No 4, p.1550, 1985.
10. M.Lefort et al. Nucl.Phys., A216, p.166, 1973.

Зодан Х. и др.

Проявление оболочечной структуры
в характеристиках продуктов реакции Zn+Sn

Приводятся результаты измерений зависимостей выхода продуктов от массы и полной кинетической энергии ТКЕ в реакциях с ионами ^{64}Zn на мишениях из серебра, олова и лантана при различных энергиях пучка над кулоновским барьером. В представленных зависимостях в реакциях с магическими ядрами олова, в отличие от измерений на других мишениях, наблюдается значительный выход снарядо- и мишнеподобных продуктов при значениях ТКЕ, меньших входного кулоновского барьера. Наблюдаются особенности в формах спектров могут быть связаны со структурой взаимодействующих ядер, а именно с оболочкой $Z = 50$ ядер олова, которая обеспечивает сохранение индивидуальных свойств ядер мишени.

Работа выполнена в Лаборатории ядерных реакций ОИЯИ.

Препринт Объединенного института ядерных исследований. Дубна 1987

Перевод авторов

Sodan H. et al.
Observation of Shell Structure in Zn+Sn Reaction
Product Characteristics

P7-87-621

The results of measurements of dependences for reaction product yields versus mass and total kinetic energy TKE for ^{64}Zn induced reactions on the silver, tin, lanthanum targets at the different beam energy under Coulomb barrier are presented. Considerable yields of projectile- and target-like products with TKE-values smaller than Coulomb barrier had been observed in the reactions with Sn-targets in contrast to the results for other targets. Disclosed shape peculiarities can be connected with initial structures of interacting nuclei, namely, with shell effect $Z = 50$ of target, which provides for saving of individual properties of the target nuclei.

The investigation has been performed at the Laboratory of Nuclear Reactions, JINR.

Рукопись поступила в издательский отдел
5 августа 1987 года.